



Роллинг блоков Нижнего Приамурья

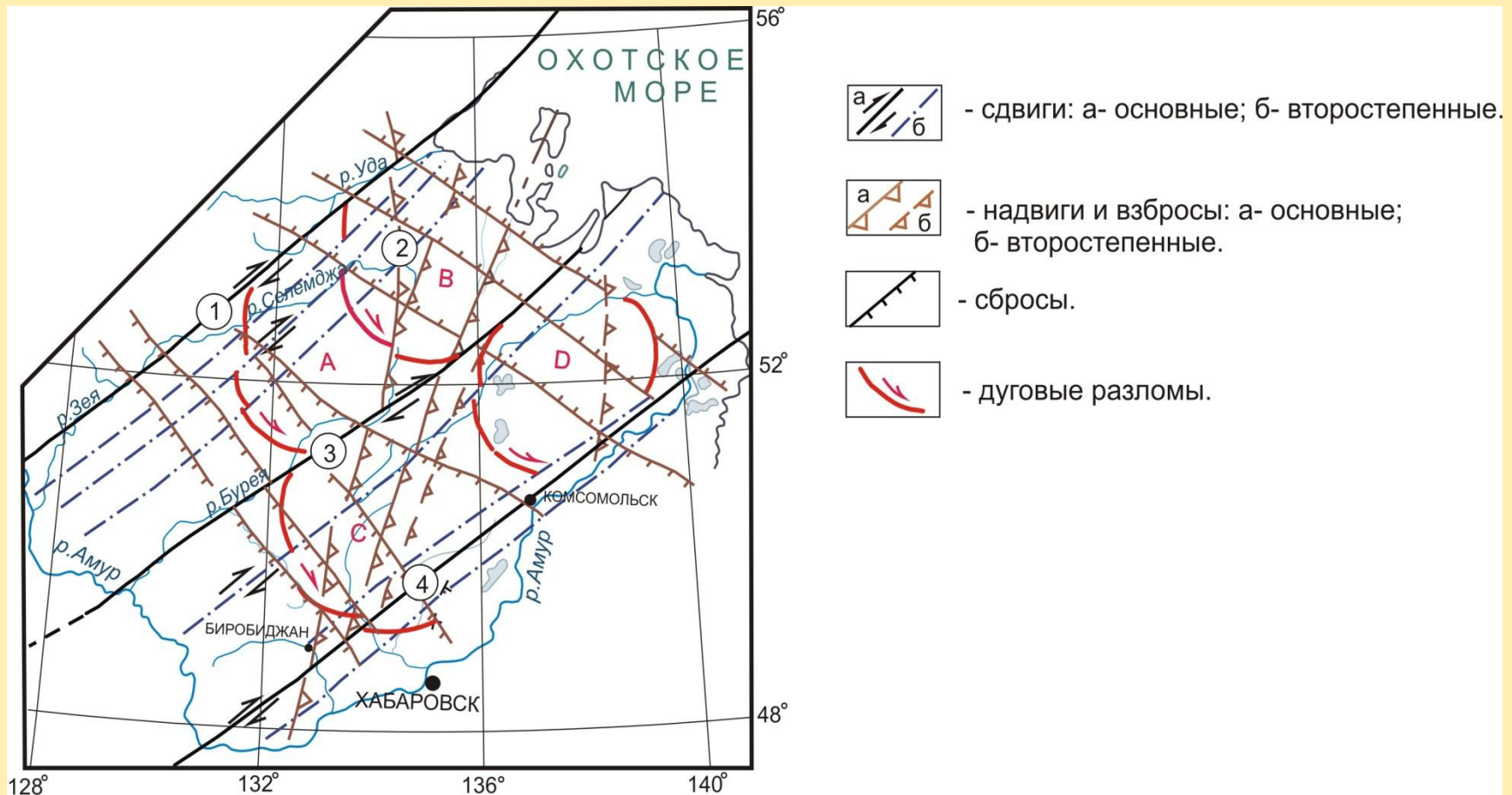
Онухов Ф.С.

**Институт тектоники и геофизики
им. Ю.А.Косыгина ДВО РАН**

Использованные материалы:

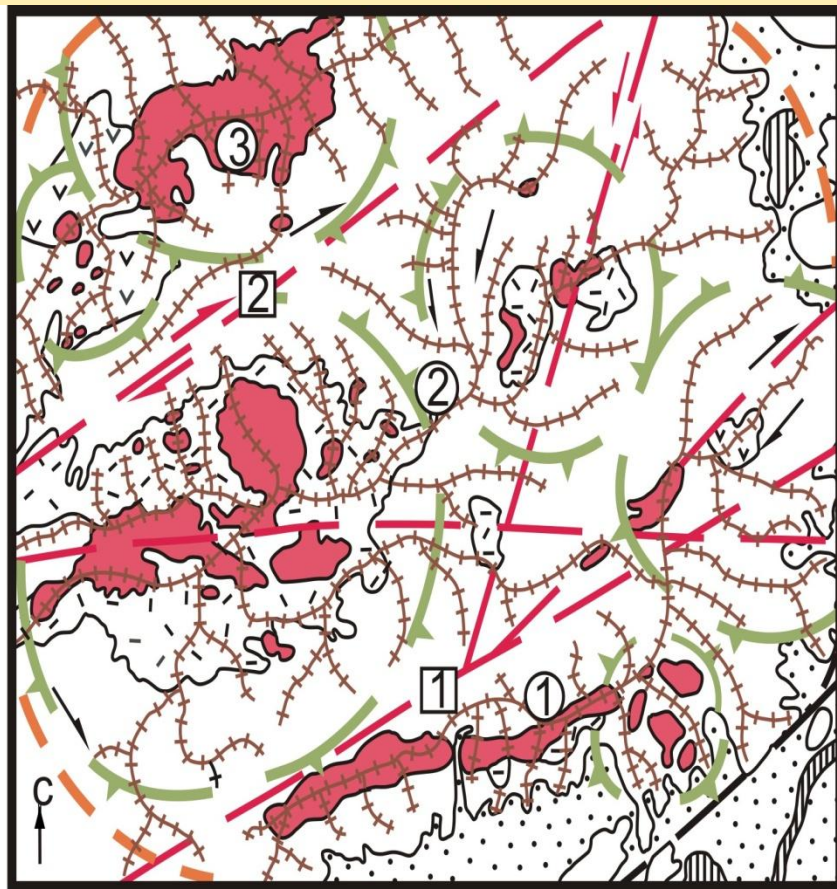
1. Радарные снимки земной поверхности из космоса масштаба 1: 2 000 000; 1: 500 000;
2. Космические снимки земной поверхности масштаба 1: 1000 000, 1: 500 000.
3. Топографические карты масштаба 1: 8000 000, 1: 2500 000, 1: 500 000, 1: 200 000.
4. Полевые наблюдения на полигонах Эворон-Чукчагирской впадины, хребтов Мяочан, Омельдинского, Баджальского.

Схема главных неотектонических разломов Приамурского геоблока



Цифрами в кружках поименованы сдвиговые зоны: 1- Зейя-Удская; 2- Буреинско-Николаевская; 3- Хингано-Амгунская; 4- Курско-Амурская. А, В, С, D – роллинг-блоки.

Горные хребты и сателлитные вулканоплутонические и интрузивнокупольные морфоструктуры Баджальского сводового поднятия [по Гаврилову, 2014] с дополнением.



-  - линии водоразделов и хребтов разного порядка
-  - нерасчлененные осадочные и вулканогенно-осадочные породы мезозоя и палеозоя
-  - гранитоиды
-  - толщи эффузивов андезитового состава
-  - толщи эффузивов риолитового состава
-  - региональные разломы
-  - границы интрузивных и вулканоплутонических куполов
-  - граница Баджальского свода
-  - чехол рыхлых отложений межгорных впадин
-  - акватории

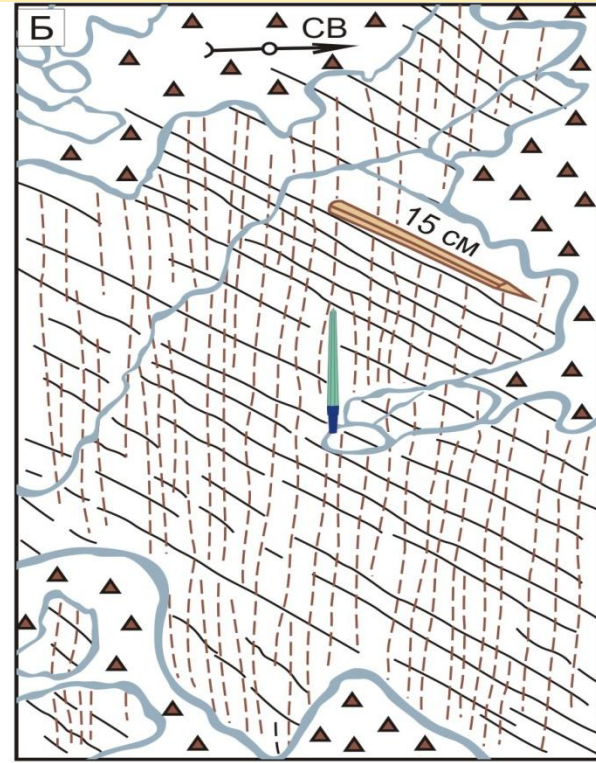
0 15 30 км




1 - региональные разломы (1- Курский; 2- Амгунский)

2 - хребты 1- Джаки-Унахта-Якбыяна; 2- Баджальский; 3- восточный сегмент Буреинского.

Наложение разновременных зеркал скольжения в зоне Амгунского сбросо-сдвига в Эворон – Чукчагирской впадине

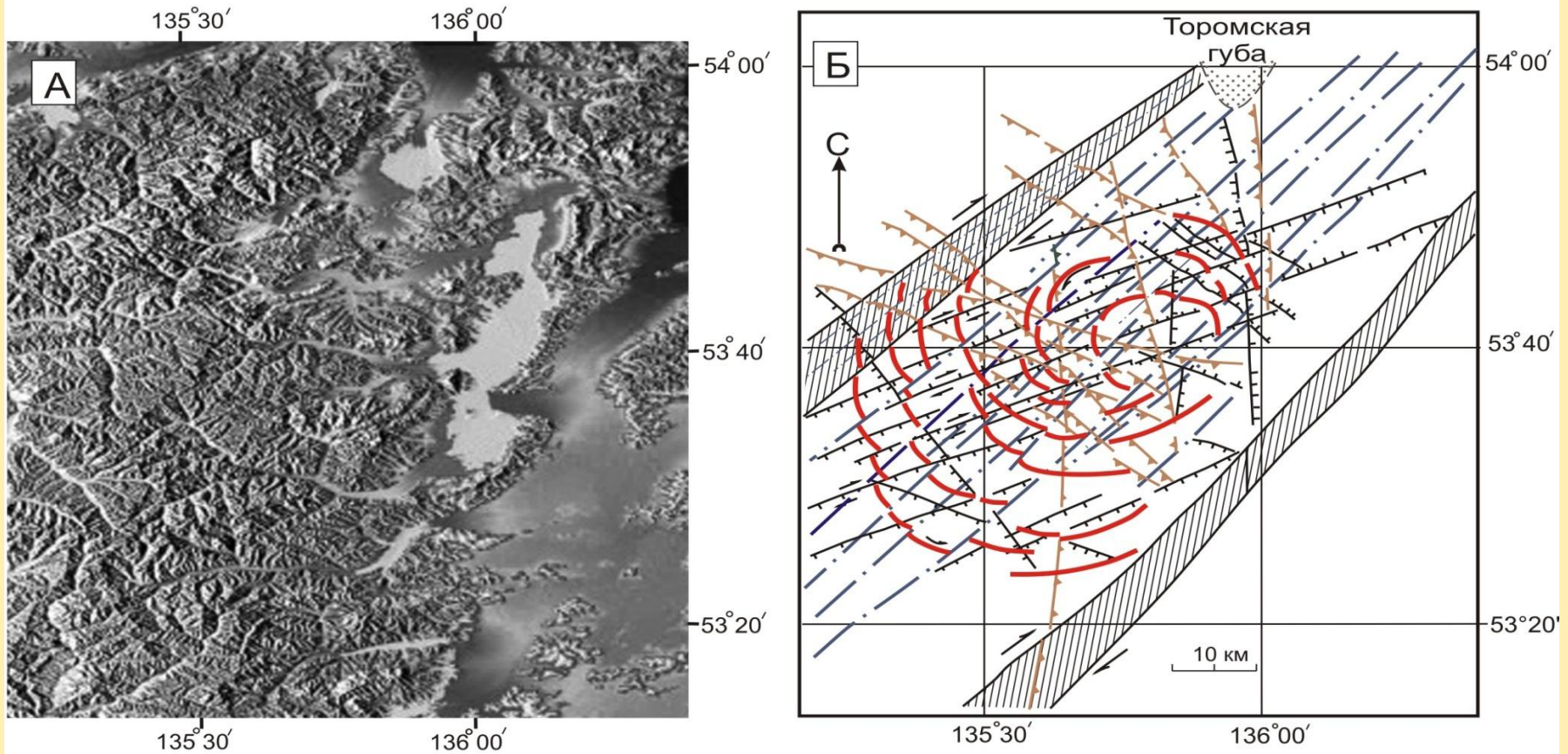
А – фото; Б – рисунок с фото.



-  - борозды скольжения поздней генерации, отвечающие правостороннему сбросо-сдвигу
-  - хлоритизированное зеркало с густой сетью тонких штрихов, отвечающие вертикальному сбросу ранней генерации.
-  - фрагменты разрушения зеркала скольжения

Строение роллингового блока В

А - отображение рельефа на радарном космоснимке; Б - схема дешифрирования



- главные сдвиги северо-восточного направления



- второстепенные сдвиги северо-восточного направления



- сбросы

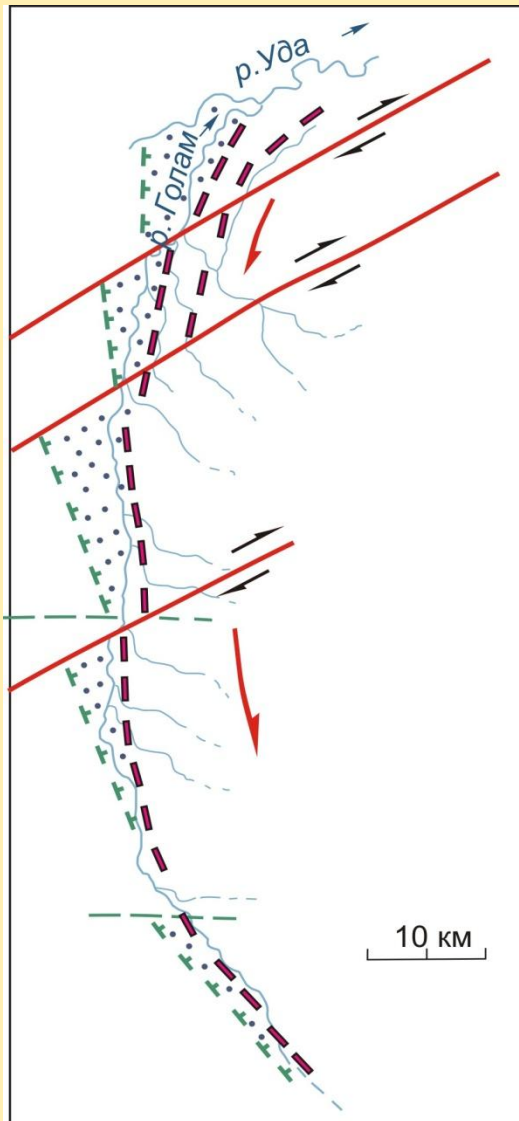


- надвиги, взбросы



- дуговые нарушения

Морфоструктурные особенности строения Голамской дуговой разломной зоны.



- северо-восточные сдвиги



- прочие разломы



- сбросо-эрозионные борта односторонних асимметричных долино-грабенов



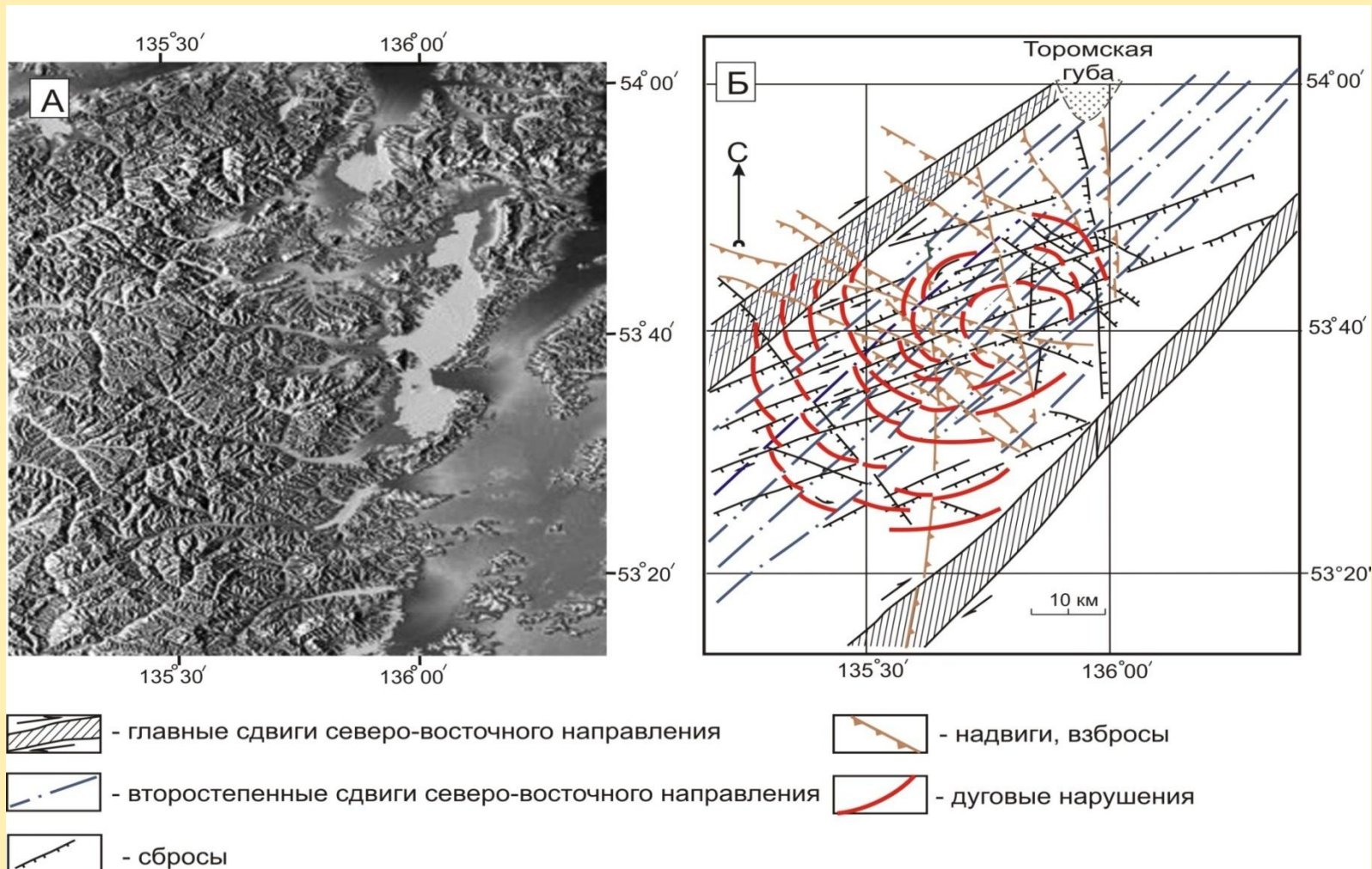
- аккумулятивные тела долино-грабенов



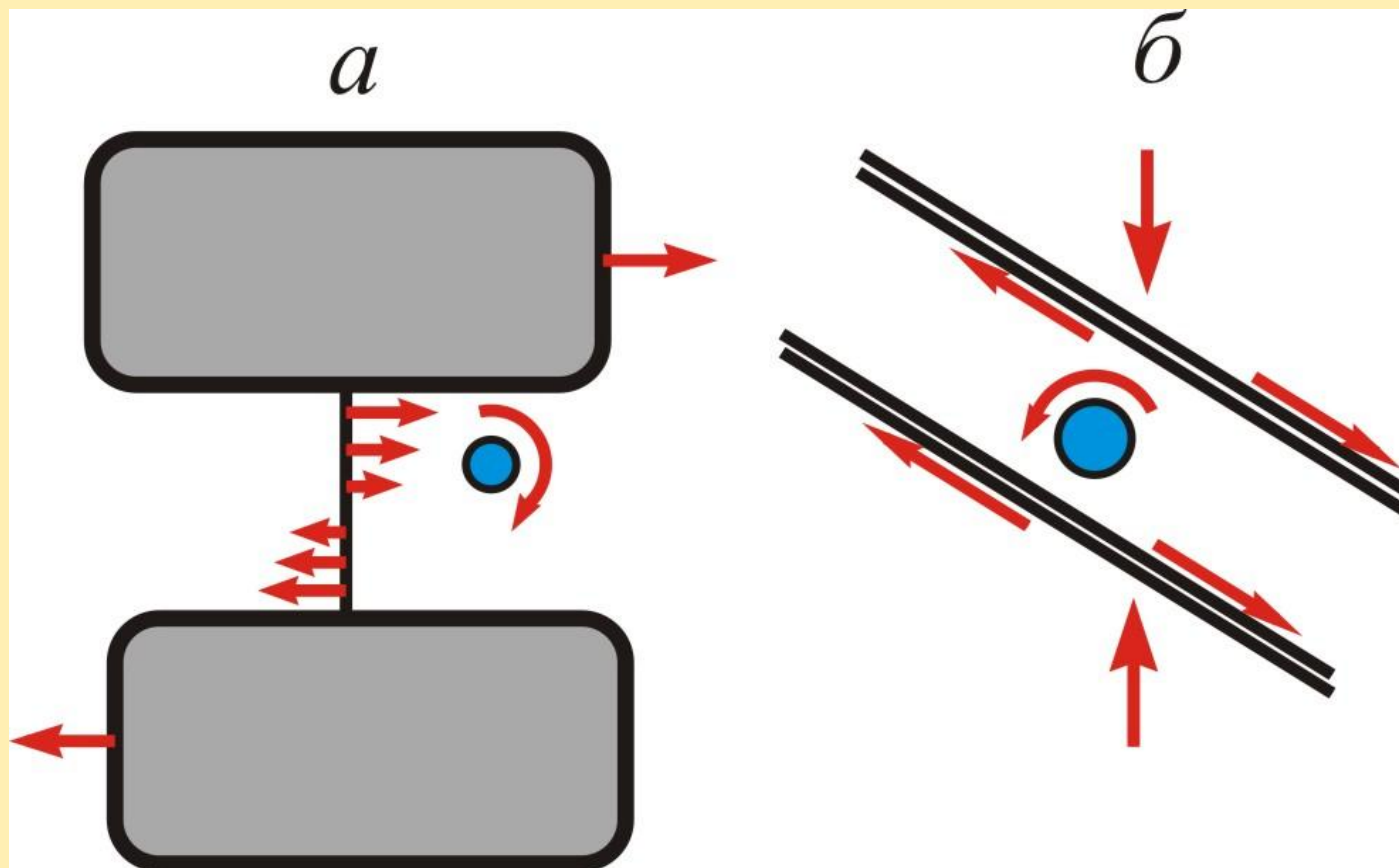
- зоны дугового разлома и направление смещения по нему

Строение роллингового блока В

А – отображение рельефа на радарном космоснимке; Б – схема дешифрирования

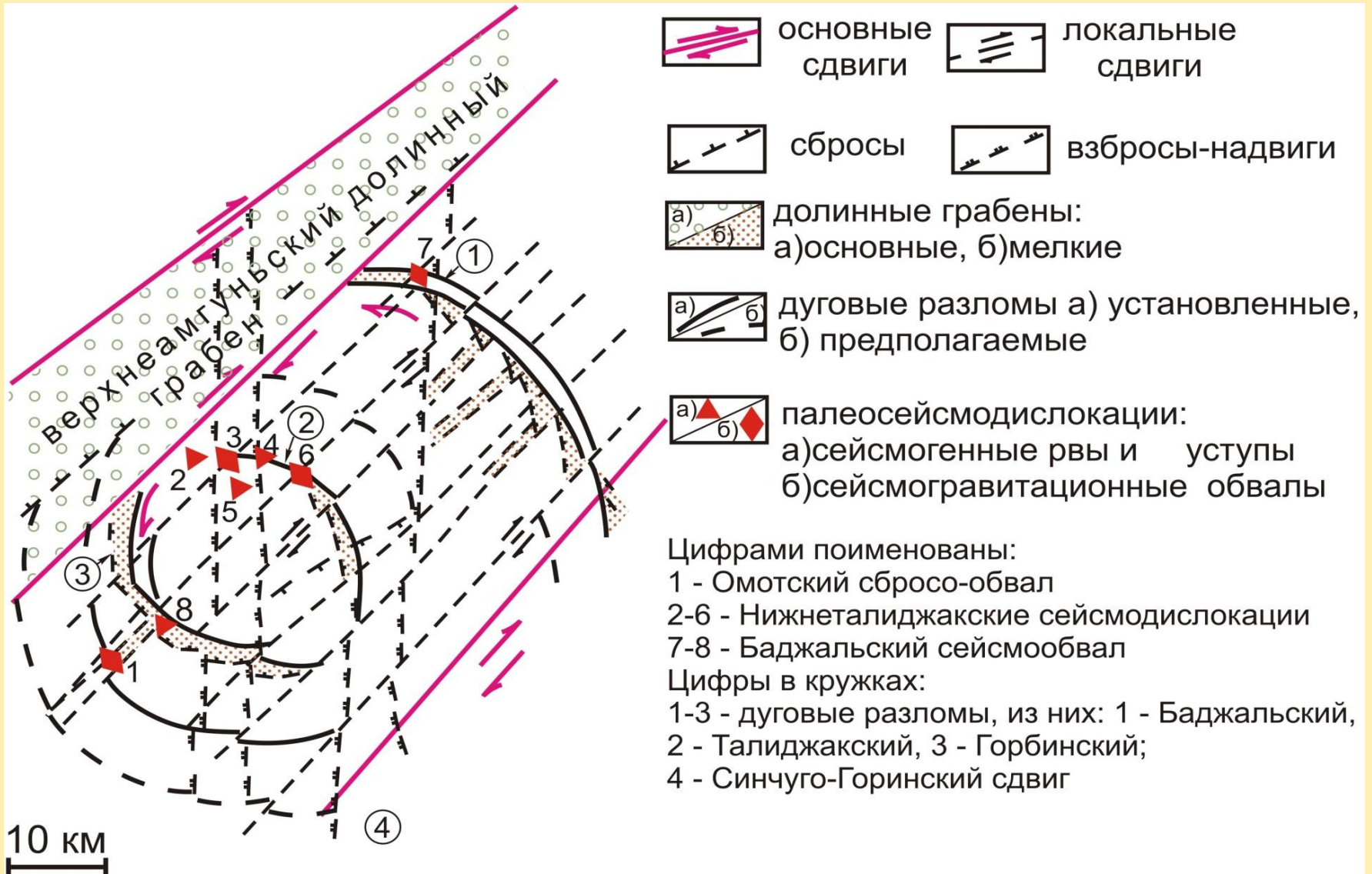


Деформации в условиях косо́го расположения сближающихся жестких блоков и разломов [Гольдин, Кучай, 2007].



а- параллельное движение блоков в противоположных направлениях
б- вращение жесткого блока в полосе пластической деформации

Ролинговый блок и палеосейсмодислокации.



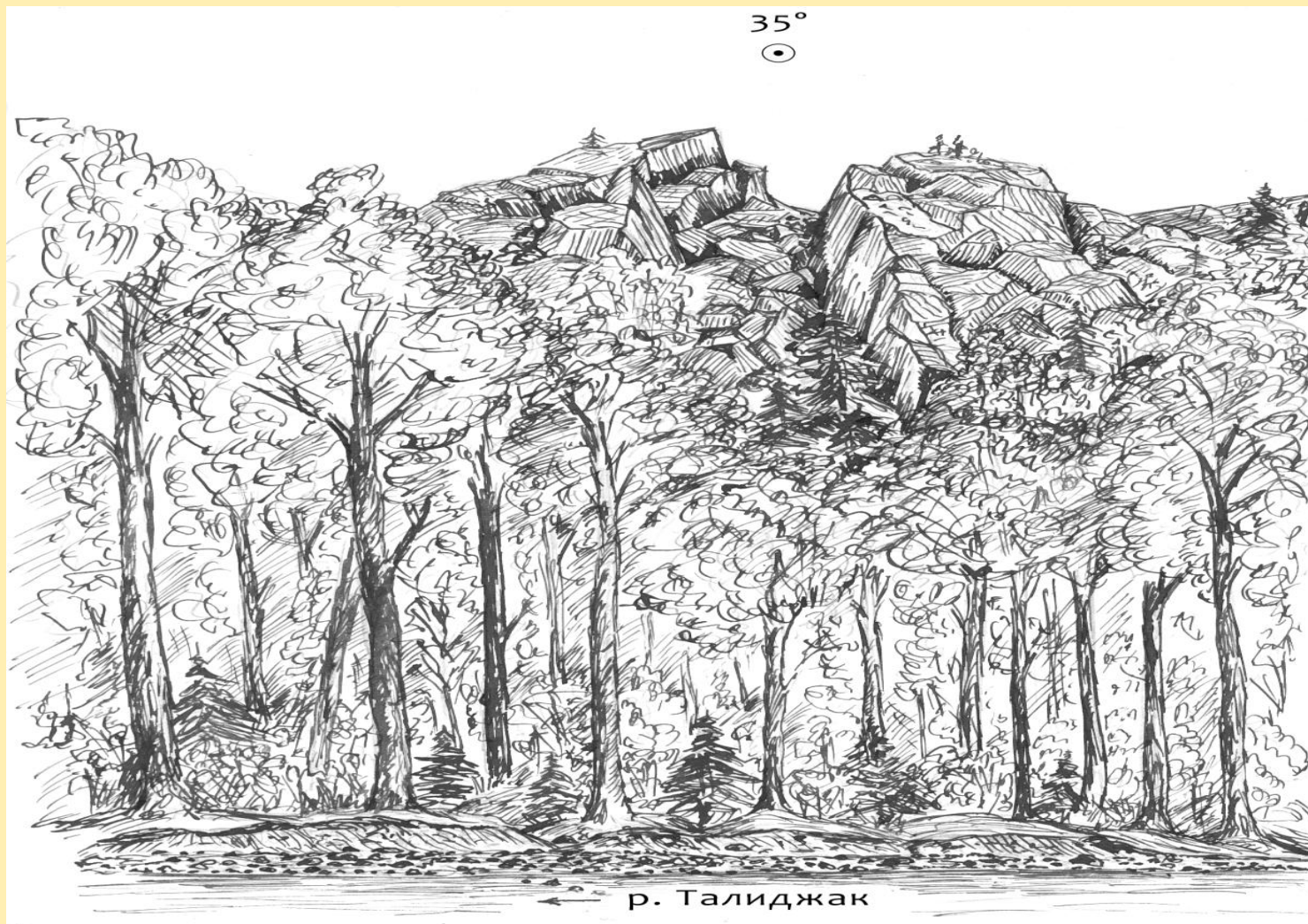
**Палеосейсмодислокация №2 (рис.7).
Вид на сейсмогенный ров в устье р. Талиджак**



**Палеосейсмодислокация №3 (рис.7).
Сейсмообвальная структура на правом берегу р. Талиджак**



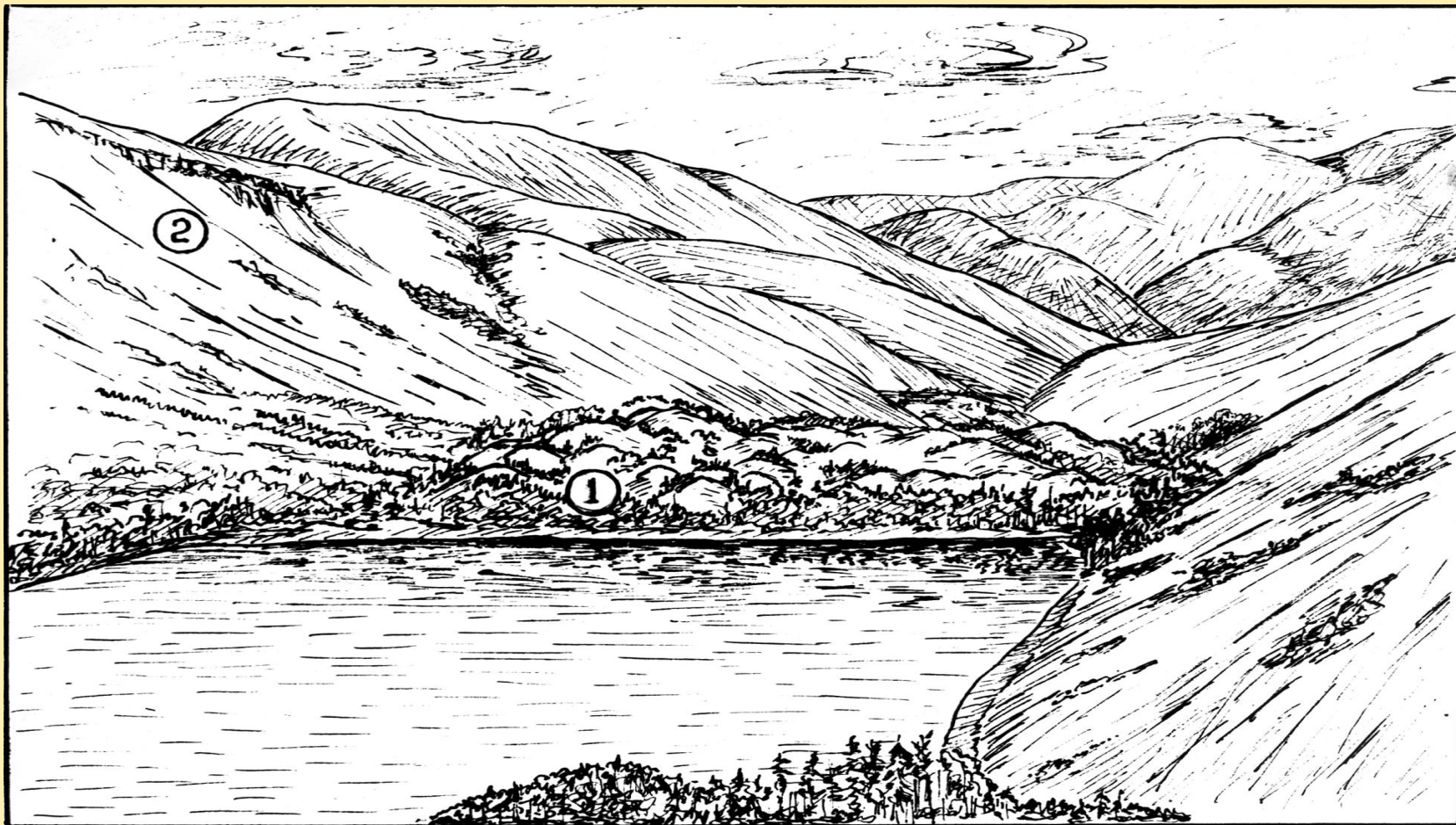
Палеосейсмодислокация №4 (рис.7) Сеймотектонический ров.



**Палеосейсмодислокация №6 (рис.7).
Сейсмоструктурный ров на борту обвала в среднем
течении р. Талиджак**



**Палеосейсмодислокация № 1,8 (рис.7)
Сбросообвал, образовавший плотинное оз. Омут**



1- аккумулятивное тело сбросо-обвала; 2- стенка отрыва обвала.

Благодарю

за

внимание!